

5i - 7

$Si_3H_{1x,m}$)

($T_m, T_b, \Delta v H$)

~~1577~~

2749-IV-TKB

Русин А.Д.

Температуры плавления и кипения, энталпии

испарения Si_3H_3 , Si_2H_2 , Si_3H ,

3 с.

~~1879~~
 $S_i T_2 F_2(x, m)$

(T_m , T_b , ΔH)

2749-IV-РКВ

Русин А.Д.

Температуры плавления и кипения, энталпии

испарения $S_i T_2 F_3$, $S_i T_2 F_2$, $S_i T_3 F$,

3 с.

$S_i\bar{TF}_3(x, m)$

$(T_m, T_b, \Delta H)$

1571

2749-IV-7ХВ

Русин А.Д.

Температуры плавления и кипения, энталпии

испарения $S_i\bar{TF}_3$, $S_i\bar{TF}_2$, $S_i\bar{TF}_1$,

з с.

S_1T_3Cl (m)

(Tg)

2752-IV-ПКВ

Русин А.Д.

Температуры кипения

$S_1T_3Cl_3$, $S_1T_2Cl_2$,

S_1T_3Cl , 2 °с.

Si_2Cl_2 (м.)

~~1977~~

(176)

2752-IV ПКВ

Русин А.Д.

Температуры кипения Si_2Cl_3 , Si_2Cl_2 ,

Si_3Cl_2 , 2 с.

$\text{SiTl}_3(m)$

1927

(76)

2752-IV-TKB

Русин А.Д.

Температуры кипения SiTl_3 , SiT_2Cl_2 ,
 SiT_3Cl , 2 с.

$\text{SiB}_2\text{3}\text{Y}(\text{r})$ Термод. фазы. № 77

2755-1 TKB

Юнианн В. С.

Термодинамическое фазовое
 $\text{SiB}_2\text{3}\text{Y}(\text{r}), 2\text{c}$.

7322.

1891

SiCl_3Br , SiCl_2Br_2 , SiClBr_3 , SiCl_3J ,
 SiCl_2J_2 , $\underline{\text{SiClJ}}_3$, SiBr_3J , SiBr_2J_2 , SiBrJ_3
(Tb, Tm)

Besson

3. Compt. rend. 112, 788 (1891)

Be

SiI_3Cl

9118

1926

Tiecke and Thiman
J. Ber. 59, 1703 (1926)

Si Br }
J₃ Tw

Circ. 500 Be

1950

5858

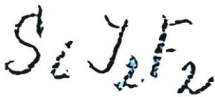
T_{kip} (SiF_3 , SiE_2J_2 , SiF_3J)

Anderson H.H.

J.Am.Chem.Soc., 1950, 72, 2091-2093

The redistribution reaction ...

Be



1982

5859

SiCl_3J , SiCl_2J_2 , SiCl_3J ()

Delwaulle M.L., Buisset M.B.,
Delhaye M.

J.Am.Chem.Soc., 1952, 74, 5768-70

The study of ...

J



SiJ_3Cl

1954

Dehvaulle M.L., Francois, F., Delhaye
Buisset M.,

J.Phys.et. radium, 1954, 15, N. 3,
206-208

J

5828

SiBr_4 , SiClBr_3 , SiCl_2Br_2 , SiCl_3Br ,
 SiCl_4 , SiJ_4 , SiClJ_3 , SiCl_2J_2 , SiCl_3J , GeCl_4 ,
 GeCl_3Br , GeCl_2Br_2 , GeClBr_3 , GeBr_4 , SnCl_4 ,
 SnCl_3Br , SnCl_2Br_2 , SnClBr_3 , SnBr_4 , SiBr_3I ,
 SiBr_2I_2 , SiBrI_3 ()

SiJBr_3

M786

1968

SiCl_3Br ; SiCl_2Bi_2 ; $\text{Si}_2\text{Cl}_4\text{Bi}_2$;
 $\text{Si}_3\text{Cl}_6\text{Bi}_2$; SiCl_3J ; SiCl_2J_2 ; SiClJ_3 ; (Tb)

Schenk P.W., Bloching H.
Z. anorgan. und allgem. Chem., 1965, 334,
N 1-2, 57-65

Darstellung und Eigenschaften des ...

Be

F

orig.

PX, 1966, 5B18

SiFBr₃

ЗР-ХIV-3331

1981

8 В6. Фторхлорбромиодсилан. Höfler Friedrich, Veigl Walter. Fluorchlorbromijodsilan. «Angew. Chem.», 1971, 83, № 23, 977 (нем.)

Добавлением SbF_3 к кипящему $SiBr_4$ получен $SiFBrg_3$ (I), дающий $SiFCIBr_2$ (II) при обработке $SbCl_3$. При действии SbJ_3 на II (24 часа, 100°) йодирование не происходит, при нагревании II и SiJ_4 (12 час., 100°) $SiFCIBrJ$ (III) образуется с выходом 5%. II и $HSiJ_3$ (A) при 100° за 18 час. на 50% реагируют по ур-нию $II + A = III + HSiBrJ_2$, в малом кол-ве образуются также $HSiBr_2J$, $HSiBr_3$, $SiFCIJ_2$ (IV), I, $SiFCl_2Br$ (V) и

76.

X. 1982. 8

SiF_3 , от к-рых III отделяют перегонкой. Жидк. бесцв.
III чувствителен к гидролизу, т. кип. $85^\circ/735$, $n^{20}D = 1,507$.
При 100° в запаянной ампуле III за 8 час. не разлагается,
через 33—50 час. дает 5—8% (II+IV). ИК-спектр
III: 910 (v_1), 587 (v_2), 486 :(v_3) и 333 см^{-1} (v_4), получен
спектр КР III (9 поляризованных линий). Значения δ
(млн. д., относительно CCl_3F) для I—V, соотв., равны
76,5; 81,5; 74,5; 70,0; 87,0; $J(\text{Si}^{29}\text{F}^{19})$ составляют, соотв.,
365, 351, 380, 401, 332 гц.

И. В. Никитин

1973

20 В24. Трифторийодосилан и дифторийодосилан, их свойства и применение для получения фторокремниевых производных со связями Si—N, Si—O и Si—S. Aylett Bernard J., Ellis Ian A., Richmond John R. Trifluoroiodosilane and difluorodiiodosilane: their properties and use in preparing fluorosilicon derivatives with Si—N, Si—O, and Si—S bonds. «J. Chem. Soc. Dalton Trans.», 1973, № 9, 981—987 (англ.).

Нагреванием RSiF_3 (везде $\text{R}=\text{NMe}_2$) с HJ от 77° К до коми. т-ры получен SiF_3J (I) с выходом 71%, аналогично из R_2SiF_2 и HJ синтезирован SiF_2J_2 (II) с выходом 80%. С низким выходом I получен р-цией порошка Al с J_2 и SiF_4 при 650° К. Для I т. пл. 199,5° К, $\lg P$ (мм) = 7,593 — 1110/T ($T=139$ —227° К), экстрапол. т. кип. 236° К, ΔH (исп.) = 21,2 кдж/моль, ΔS (исп.) = = 89,7 дж/моль·град. Для II т. пл. 191,0° К, экстрапол. т. кип. ~360° К, выше ~270° К II диспропорционирует. С вод. паром I быстро реагирует, давая $(\text{SiF}_3)_2\text{O}$ (A), к-рый диспропорционирует с образованием тв. $(\text{SiF}_2\text{O})_x$. II быстро гидролизуется, давая олигомерные и поли-

 $T_m; T_b$ $dHv; p$

Х. 1973 № 20

тож

мерные фторосилоксаны. При пропускании разб. азотом I над HgO образуется A. II с HgO даёт A, SiF_xJ_{4-x} ($x=2-4$) и смесь фторосилоксанов. При УФ-облучении (сенсибилизатор Hg) смеси I с NO получены N_2 , N_2O , SiF_4 , следы II, A, HgJ_2 и фторосилоксан, менее летучий, чем A. При пропускании I над HgS образуются SiF_4 , A и $(F_3Si)_2S$ (III). Выдерживание I с HgS ,

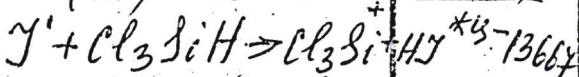
при $278^\circ K$ дает SiF_4 , A и $F_2SiSSiF_2S$ (IV). При $298^\circ K$ II и HgS дают IV, SiF_4 , A и III. Газ. III и IV устойчивы в стекле при комн. т-ре. III при 450° или жидк. при комн. т-ре дает SiF_4 , IV и тв. в-во; IV в этих условиях образует SiF_4 и тв. в-во. Газ. III и IV в контакте с анионовой смазкой выделяют H_2S . При пропускании пара I над $Hg(CN)_2$ образуются HgJ_2 , SiF_4 , A и $CNSiF_3$ (V). При хранении V разлагается, давая желтое нелетучее в-во и SiF_4 , с анионовой смазкой V быстро реагирует, выделяя HCN. Р-ция газ. I с $AgCN$ также дает V, однако жидк. I с $Hg(CN)_2$ или $AgCN$ образует желтое тв. в-во. При нагревании I и $Hg(NCS)_2$ до комн. т-ры образуются SiF_4 , A и $NCSSiF_3$ (выход 20%). I и Me_3N дают легко гидролизующийся аддукт I : 2, к-рый выделяет J_2 при взаимодействии с Cl_2 . Газ. I и RH в мол. отношении 1 : 8 реагируют с образованием R_2SiF_2 , при мол. отношении 2 : 1 образуются $RSiF_3$ и малое кол-во R_2SiF_2 . Газ. I реагирует с NH_3 , давая тв. неустойчивые фторосилазаны. Приведены ИК-спектры I—IV.

60706.4212

TC, ch

(K) 29862

1976



mechanism reaction

Walsh Robin, Wells Jean M. Kinetics of the gas-phase reaction between iodine and trichlorosilane and the bond dissociation energy D(Cl₃Si-H). "J. Chem. Soc. Faraday Trans.", 1976, Part 1, 72, N 5, 1212-1220 (англ.) 0651 ник

634 635

ВИНИТИ

SiO_3

1990

Stewart James J. P.,
Gordon Mark S.

(ΔH_f) Phosphorus, Sulfer
Silicon Relat. Elem.

1990, 47 (1-2), 105-8.

(c.c. SiOF_2 ; ?)

1. 9
Si₂I₆

1996

ЗБ212. Гексаиододисилан. Hexaiododisilane / Jansen M., Friede B. // Acta crystallogr. C. — 1996. — 52, № 6. — С. 1333—1334. — Англ.

Бесцветные игольчатые кристаллы Si_2I_6 получены взаимодействием SiI_4 с Ag при $673\text{K}/3$ ч. Проведен РСТА

(293К, λMo , 1964 отражения, R_{int} 0,0290). Параметры ромбической решетки: а 13,702, б 12,498, с 7,8940, V 13,518 \AA^3 , Z 4, $\rho(\text{выч.})$ 4,017, ф. гр. Pnma. В структуре атомы I образуют примерно плотную упаковку ABAC с гантелями Si—Si, занимающими 1/6 октаэдрических пустот (Si—I 2,424—2,428, Si—Si 2,323, 2,424, 2,427 \AA). Симметрия молекулы C_s , а точечная группа D_{3d} .

Н. Л. Смирнова

Структура

X. 1997, N3

F: OSiI2

P: 1

On 40796

2001

134:271872 Thermochemistry of Gaseous OSiI, OSiI2, SiI, and SiI2. Hildenbrand, D. L.; Lau, K. H.; Baglio, J. W.; Struck, C. W. SRI International, Menlo Park, CA, USA. J. Phys. Chem. A (2001), 105(16), 4114-4117. in English.

Gaseous reaction equil. in the Si-O-I system were investigated by mass spectrometry, leading to identification and thermochem. characterization of the species OSiI, OSiI2, SiI, and SiI2. Species were generated by the addn. of gaseous I₂ to an effusion cell reactor contg. a Si/SiO₂ mixt. of compn. "SiO". Equil. involving the Si-O-I species were measured in the range 1350 to 1540 K. From third law anal., the enthalpies of formation of OSiI, OSiI2, SiI, and SiI2 were derived as $\geq -21.7 \pm 5$, $\geq -74.5 \pm 5$, 61.0 ± 2 , and 21.6 ± 3.3 kcal mol⁻¹, resp. Although the values for SiI and SiI2 are in good agreement with selected values in a recent compilation, the results for OSiI and OSiI2 are 25-30 kcal mol⁻¹ less stable than semiempirical ests. developed for modeling of metal halide lamp chem. In some instances, other estd. thermochem. database values differ substantially from both theor. and exptl. results; reasons for these discrepancies are discussed.

F: OSiI
P: 1

On 40796

2001

134:271872 Thermochemistry of Gaseous OSiI, OSiI₂, SiI, and SiI₂. Hildenbrand, D. L.; Lau, K. H.; Baglio, J. W.; Struck, C. W. SRI International, Menlo Park, CA, USA. J. Phys. Chem. A (2001), 105(16), 4114-4117. in English.

Gaseous reaction equil. in the Si-O-I system were investigated by mass spectrometry, leading to identification and thermochem. characterization of the species OSiI, OSiI₂, SiI, and SiI₂. Species were generated by the addn. of gaseous I₂ to an effusion cell reactor contg. a Si/SiO₂ mixt. of compn. "SiO". Equil. involving the Si-O-I species were measured in the range 1350 to 1540 K. From third law anal., the enthalpies of formation of OSiI, OSiI₂, SiI, and SiI₂ were derived as $\geq -21.7 \pm 5$, $\geq -74.5 \pm 5$, 61.0 ± 2 , and 21.6 ± 3.3 kcal mol⁻¹, resp. Although the values for SiI and SiI₂ are in good agreement with selected values in a recent compilation, the results for OSiI and OSiI₂ are 25-30 kcal mol⁻¹ less stable than semiempirical ests. developed for modeling of metal halide lamp chem. In some instances, other estd. thermochem. database values differ substantially from both theor. and exptl. results; reasons for these discrepancies are discussed.